

## Errata

---

Volume 41, numéro 3, 1987

URI : <https://id.erudit.org/iderudit/017458ar>

DOI : <https://doi.org/10.7202/017458ar>

[Aller au sommaire du numéro](#)

---

### Éditeur(s)

Les Presses de l'Université de Montréal

### ISSN

0705-7199 (imprimé)

1492-143X (numérique)

[Découvrir la revue](#)

---

### Citer ce document

(1987). Errata. *Géographie physique et Quaternaire*, 41(3), 402–402.

<https://doi.org/10.7202/017458ar>

## ERRATA

Nous prions le lecteur de bien vouloir noter que des modifications ont été apportées aux figures 3 (p. 309) et 5 (p. 311) de l'article de Serge Occhietti intitulé « Dynamique de l'Inlandsis laurentidien du Sangamonien à l'Holocène » paru en 1987 dans le volume 41, n° 2, p. 301-313.

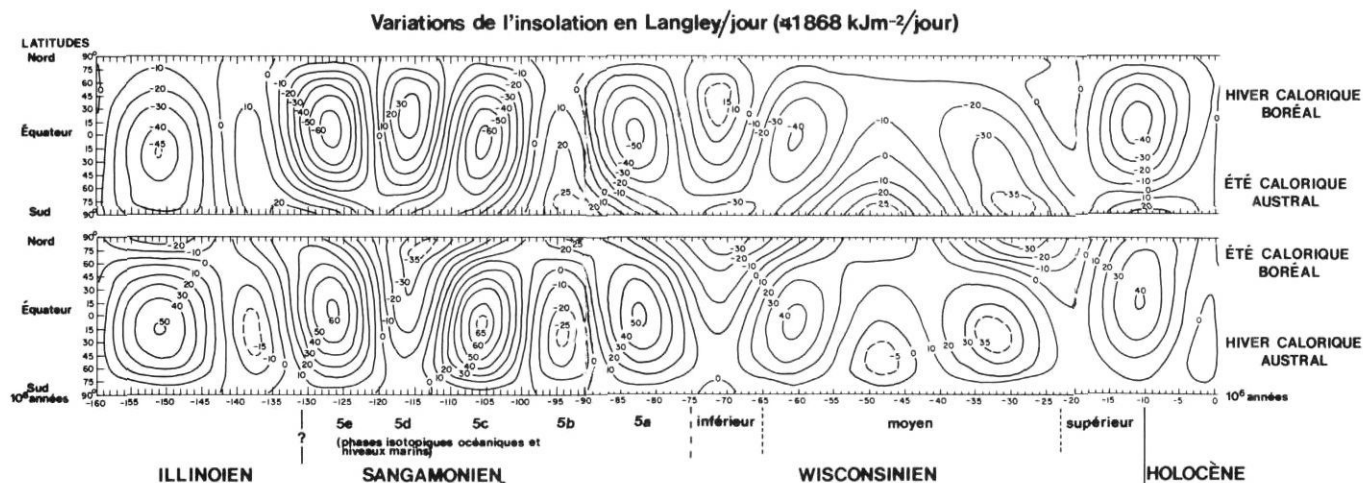
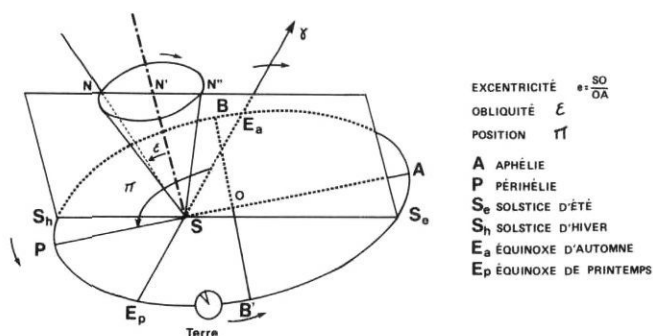


FIGURE 3. La quantité d'énergie solaire ou insolation en Langley/jour ( $41,868 \text{ kJm}^{-2} \text{ jour}$ ) selon la latitude et la saison thermique entre 160 ka et aujourd'hui d'après VERNEKAR (1972).

The quantity of solar energy or radiation in Langley/day ( $41,868 \text{ kJm}^{-2} / \text{day}$ ) depending on the latitude and the thermal season between 160 ka and today, from VERNEKAR (1972).



The three components of the Earth's orbit, causes of the variations in time of the radiation at the latitudes and main causes of the climatic variations, after BERNARD (1974). The radiation at the latitudes depends on : a) the eccentricity of the Earth's orbit around the Sun ; b) the obliquity of the Earth's axis in relation to the normal along the ecliptic at a time t. The axis describes a complete cone  $2^\circ$  in 26,000

FIGURE 5. Les trois composantes de l'orbite terrestre, causes des variations dans le temps de l'insolation des latitudes et causes premières des variations climatiques, d'après BERNARD (1974). L'insolation des latitudes dépend : a) de l'excentricité de l'orbite terrestre autour du soleil ; b) de l'obliquité de l'axe terrestre par rapport à la normale au plan de l'écliptique de l'époque t. L'axe de la Terre décrit un cône complet  $2^\circ$  en 26 000 ans ; c) de la position du périhélie par rapport au point vernal correspondant. Cet angle varie de  $0$  à  $360^\circ$  avec une période moyenne de 20 600. Cette période résulte de la combinaison entre le mouvement rétrograde de la précession des équinoxes de 26 000 ans de période et du mouvement direct de rotation du grand axe PA de période irrégulière, de 96 600 ans en moyenne.

years ; c) the position of the perihelion in relation to the corresponding vernal point. This angle varies from  $0$  to  $360^\circ$  with an average period of 20,600 years. This period is the result of the combination of the reversed motion of the precession of the equinoxes during a 26,000 year period and of the direct rotary motion of the axis PA over an irregular period for an average of 96,600 years.